

摩 擦 鋸

哥爾巴托夫著



机械工业出版社

親愛的讀者：

當您讀完這本書後，請盡量地指出本書內容、設計和校對上的錯誤和缺點，以及對我社有關出版工作的意見和要求，以幫助我們改進工作。來信請寄北京東交民巷二十七號本社收（將信封左上角剪開，註明郵資總付字样，不必貼郵票），並請詳告您的通訊地址和工作職務，以便經常聯繫。

機械工業出版社

苏联 Н.И. Горбатов 著‘План тренинг’(Машгиз 1950 年第一版)

* * *

NO. 1227

1957年5月第一版 1957年5月第一版第一次印刷

787×1092^{1/32} 字数 63 千字 印张 3 0,001—4,800 册

机械工业出版社(北京东交民巷 27 号)出版

机械工业出版社印刷厂印刷 新华书店發行

北京市書刊出版業營業
許可証出字第 008 号

統一書號 15033·538

定 价 (10) 0.48 元

摩 擦 銅

哥爾巴托夫著

金 精 譯

出版者的話

本書闡明有关使用切割金屬用的盤形摩擦鋸和帶狀摩擦鋸的各項問題。介紹怎样計算動力、切削力、切削速度和走刀量，分析使用摩擦鋸的切削過程對被切金屬組織的影響，介紹怎样計算盤形摩擦鋸和帶狀摩擦鋸的強度。

摩擦鋸又叫無齒鋸，它是利用鋸與工件間高速摩擦所發生的熱來把工件切口處的金屬熔化或軟化，而便於工件的鋸開。這是一種先進的工具，與普通的鋸相比較，有很大的優點。本書的出版，將有助於我國工廠推廣這種先進工具。

本書的讀者對象是機器製造廠的工藝師和工具設計師。

目 次

原序	3
----------	---

盤形摩擦鋸

第一章 切削的理論基礎	7
第二章 盤形刀具	47
第三章 鋸的結構及其使用	60

帶狀摩擦鋸

第一章 切削的理論基礎	78
第二章 帶狀刀具	84
第三章 鋸的結構及其使用	89
參考文獻	95

原序

随着苏联國民經濟空前規模与空前速度的發展，隨着新的金屬加工企業的建設与开工生產，隨着農業机械，运输机械及築路机械的發展和隨着廉價的焊接結構的采用等，需要在短期內加工大量的金屬，这里也包括金屬的切斷工序。

用摩擦鋸切斷金屬是一種生產率最高而又最經濟的切斷金屬方法。

用摩擦鋸切斷金屬的要点是高速运动的薄鋼盤或鋼帶，利用摩擦所生的热，將零件的材料熔化或軟化，然后在高速下將它自切口处扔出，扔出的金屬成一束赤热的火花。此时最小的金屬片在空气中与氧化合，所以燒成黑皮。大一些的因已熔解，所以冷却成为小珠、小滴及小球，因而形成非常緊密而又堅強的各种鋼滴体。

小球、小珠和小滴在凝固体的顯微磨片上可以清晰的看出来（見圖1）。它們表示切斷過程中热的性質。在磨片中多數部分的圓形可以證明，當它們從基体上分离时金屬是在液体状态。此种状态下表面張力的作用最顯著。圖中拉長的細珠形狀亦可證明此問題，此种形狀是代表液相金屬作高速运动，它在早先扔出并且已冷却的部分和黑皮之間作高速运动。

另一个表示切断过程中热的性质的标记是靠近切口部分的金属是非常热的。

薄钢盘或钢带的工作刃可以作成光滑的，或者作成有锯齿的，或者作成是各种形状与尺寸的滚花的。由于锯齿与工件接触点的单位压力大，因此它可以较深地浸入熔解或变软的金属中。所以锯的生产率提高得非常多。

锯齿上的刀刃用钝了时，刀具与被切金属的接触点就增加了，发热量也增加了，因此实际上切断过程无变化。

钢盘或钢带的工作刃部分，不管其上有无锯齿都称为切削刃。

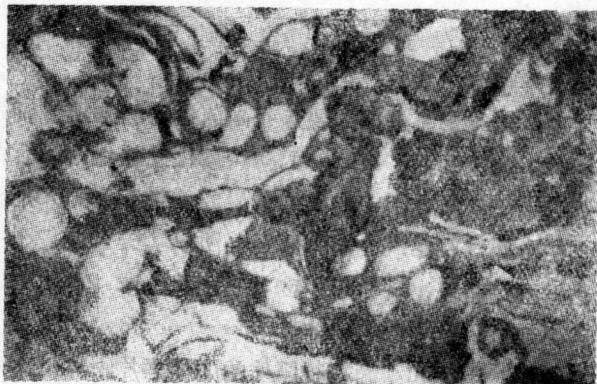


圖 1 切屑凝固体放大130倍的顯微磨片。

在用摩擦锯切断金属的过程中，实际上是沒有“切削”作用的，所以此处“切削”一词应了解是借用其意义的。

在切削过程中盘锯或带锯虽然始终与热至高温的工件接触，但是自己几乎一点也不热。这个现象可以这样解释：由

于速度很高，盤鋸或帶鋸上切削刃的任一点与工件接触的时间都非常短，因此來不及热起來；就是热起來后，在以后的路程中此点也來得及把热傳至周圍的介質，这是因为不与工件接触的路程要比工作路程大很多倍的緣故。

被加工材料所处的条件就不同了。其上的各部金屬連續地受到鋸上切削刃各点的作用。此时由于摩擦所生的热蓄積在容積不大的金屬上，其温度差不多是驟然的增到熔点，所以液体金屬被运动的刀具自切口中扱出。

由于走刀的緣故，已熔及扱出金屬的地方換上新的硬金屬；这个过程一直延續着，直到切口中所有的金屬都被熔解及工件被切成兩塊为止。

在長期切割實截形的金屬時及熱切金屬時，鋸的切削刃的溫度仍然增高，所以鋸必須冷卻。

摩擦鋸可分成盤形的及帶狀的。

在用摩擦鋸切割金屬時，切削速度有很大的作用；它愈大，切削過程進行地愈快，并且使刀具發熱的坏影响愈小。

普通在鋸床上冷切金屬時，刀具上切削刃的線速度取在由 50 至 120 公尺/秒之間。

根据苏联進行的試驗可知，低速盤形摩擦鋸可用圓周速度为 13~15 公尺/秒。

在此种情况下，与刀具接触的金屬不是熔化，而僅是變軟至塑性狀態，然后受摩擦力的作用產生金屬的运动，并且自切口处扱出。

根据已有的文献報告，第一个高速旋轉盤的切削性質是在1823年被發現，可是僅在1849年才制成第一个直徑为1200公厘的鋸床。其原动机構是用反作用渦輪，其軸的轉数为

2000轉/分。由此切削速度等于 126公尺/秒。在这个鋸床上工作时不用任何的冷却液，切割标准路軌的鋼軌只需10秒鐘。

虽然它有顯著的成效，但是这种切料方法很快的被遺忘了一些时候。其原因是盤很难得到高的圓周速度，以及当时生產动力設備有困难。

以后摩擦鋸的發展变成可能的原因，是由于在工業中使用了电动机的个别驅动的缘故。

廣泛采用高速盤形摩擦鋸是自1905年开始。自此以后，因为摩擦鋸結構簡單，使用費用非常小及更重要的是生產率特別高的緣故，使它在各种切料方法中獲得巩固及穩定的地位。

近來帶狀摩擦鋸得到廣泛的应用。这种鋸的主要优点是可以用來按圖形切割工件。切削过程中的热性質使直接切割淬火模子及冲头的圖形成为可能。

帶鋸床除了特有的作用以外，它还可以用裝在鋸条上的鎚刀片來鎚工件。

盤形摩擦鋸

第一章 切削的理論基礎

切削假說及動力平衡

當光滑的和軋了花的盤形鋸工作時永遠可以看見下列各種現象：

- a) 熔化的金屬自切口中流出；
- b) 自切口處扔出的金屬冷卻成為小滴、小球和細珠；
- c) 零件被切開的兩個半塊都受熱，尤其與切口直接相鄰部分受熱更甚。

根據這些現象可以完全肯定摩擦鋸切削金屬的过程基本是金屬熔解的熱過程。熱的來源是由於盤與工件的摩擦，熔解區域是在切口處。

由圖 2a 可知，當盤上 m_∂ 點與被切金屬上的 m_M 點接觸時，由於互相間的摩擦作用而產生熱量。熱的分布須根據導熱定律，即與它們的導熱率成正比。所以

$$\frac{Q_\partial}{Q_M} = \frac{\lambda_\partial}{\lambda_M}, \quad (1)$$

式中 Q_∂ ——傳入 m_∂ 點的熱量；

Q_M ——傳入 m_M 點的熱量；

λ_D ——盤的導熱率；

λ_M ——被切材料的導熱率。

如果盤与被切零件的材料相同 ($\lambda_D = \lambda_M$)，則 $Q_D = Q_M$ ，即热量均分在此二点上(見圖26)。

上述二点接触以后，被切材料的 m_M 点又与盤上另外一点 m_d 發生作用(見圖28)，因此 m_M 点不断的接受新的热量(見圖21)。并且

由于盤的速度很高，所以驟然热至熔解温度。

盤上点 m_d 不与 m_M 接触后，就空轉。因为空轉路程是其全程的大部分，因此該点來得及冷却，所以保持冷却状态。在圖2₂中用各点的徑向粗細表出其冷却情况。

当熔解的材料从切口处除去以后，盤的走刀量能保証点 m_d 与 m_M 永远接触。因此被切材料因为盤有走刀

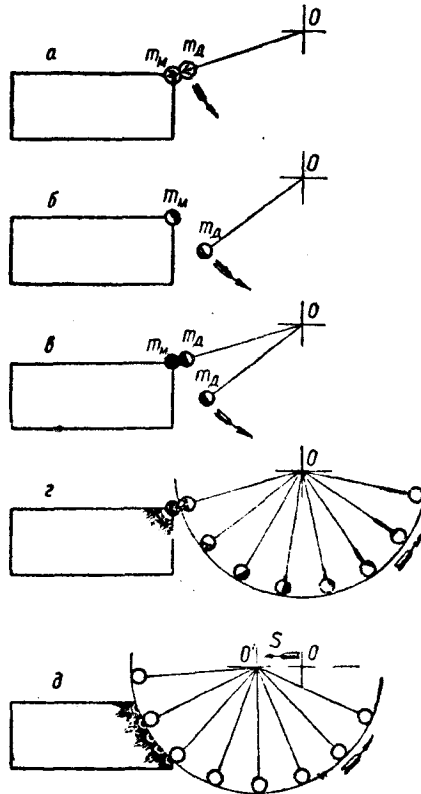


圖 2 摩擦盤的工作簡圖。

量 s (見圖2 ∂)而切开。

为了促進切削效用起見須使發生的热量大部分傳到被切材料中。即須滿足下列方程式：

$$Q_M = Q_\partial \frac{\lambda_M}{\lambda_\partial} > Q_\partial, \quad (2)$$

此式僅在下列条件下才能成立，

$$\lambda_M > \lambda_\partial. \quad (3)$$

所以制造盤的材料的導热率比被切金屬的導热率低。近來摩擦盤漸用以樹膠為基礎的塑性材料來制造。此种塑性材料的導热率很低。黃銅与紫銅制造摩擦盤是不合適的。

摩擦鋸在工作过程中所消耗的总能 U 可以寫成等于在其各个要素中所消耗的能的总和。

$$U = U_1 + U_2 + \dots + U_n = \sum_{i=1}^n U_i, \quad (4)$$

式中 n —— 工作过程中要素的个数。

公式(4)称为鋸的能量平衡公式。

引入系数 k 将能化成动力，则可寫出

$$N = kU; \quad N_1 = kU_1; \quad N_2 = kU_2; \quad \dots \quad N_n = kU_n.$$

將这些动力数值代入公式(4)中，并对 N 来簡化，消除系数 k 后得

$$N = N_1 + N_2 + \dots + N_n = \sum_{i=1}^n N_i. \quad (5)$$

根据公式(4)的理由，所得公式被称为鋸的动力能量平

● 原文符号 M 謂为 ∂ 。

衡公式。

从仔細的分析盤形鋸的工作情況可知，能量或動力消耗在下列各方面：1)熔解切口處的金屬；2)由於被切材料的導熱性能使得切出的兩半塊工件都發熱；3)盤發熱；4)自工件的基本上分離已熔金屬及將它們自切口處扔出；5)盤與冷卻介質（空氣或水）的摩擦；6)盤的兩側在切口中的摩擦；7)盤的振動（由此產生鋸所發出的噪音）；8)機床及原動機構的摩擦。

為了引出所需馬達動力的準確公式，所有上述各項動力都應考慮，並應包括在公式（5）中。但是這樣得出的公式是太複雜了，它在實際上是不好用的。

為了得到簡單而又方便的計算公式，因此自上述各項中省去那些可以省略而又不影響準確度的動力。

這些項的動力為：

1. 自工件的基本上分離已熔金屬及將它們自切口處扔出所費的動力。這是由於已熔金屬與被切工件的基本中間的內聚力是非常小的緣故。

2. 盤的兩側在切口中的摩擦所費的動力。這部分能量可以省去的原因是在大多數情況下切口寬度都比盤的厚度大，因而盤在切口中可以自由的出入，與它接觸的僅是盤的切削刃。

在個別條件下用使盤的端面挖凹的方法以減少其側面的摩擦。

3. 盤的振動所費的動力。

從與理論對照的試驗結果可知，這部分動力在切削過程中在所費總動力里，所占的百分比是很少的。

將剩下的各項動力用下列符號代表：

N_1 ——熔解切口處的金屬所費的動力；

N_2 ——使切出的兩半工件發熱所費的動力；

N_3 ——使盤發熱所費的動力；

N_4 ——盤與冷卻液的摩擦所費的動力；

N_5 ——機床及驅動機構的摩擦所費的動力，可以最後寫出高速盤形摩擦鋸的動力能量平衡公式：

$$N = N_1 + N_2 + N_3 + N_4 + N_5。 \quad (6)$$

切削動力，有效動力及馬達動力

鋸盤所費的切削動力 $N_{\text{切}}$ (或簡稱動力) 是上述鋸盤所費動力的前三項的和。

$$N_{\text{切}} = N_1 + N_2 + N_3。 \quad (7)$$

因為直接切削金屬所費的動力是將金屬在切口處熱至熔解溫度所費的動力。它不等於 $N_{\text{切}}$ 的全部動力，而僅是其前兩項的和。所以有效動力為

$$N_{\text{效}} = N_1 + N_2。 \quad (8)$$

非常明顯，馬達所需的動力是等於公式(6)中各項動力的總和。即

$$N_{\text{馬}} = N_1 + N_2 + N_3 + N_4 + N_5。 \quad (9)$$

為了得到公式(7)、(8)及(9)的展開式，須要分別決定式中的每一項。

現在來看切斷矩形工件的情形。

如切口處扔出的金屬變成液態所需的熱能為 U_1 千卡 (見圖3)，則

$$U_1 = G[c(t - t_0) + a]， \quad (10)$$

式中 G ——切口处被熔金属的重量(公斤);
 c ——被切金属的平均比热(仟卡/公斤);
 t ——被切金属的熔解温度(度);
 t_0 ——被切金属原来的温度(度);
 a ——金属的熔解潜热(仟卡/公斤)。

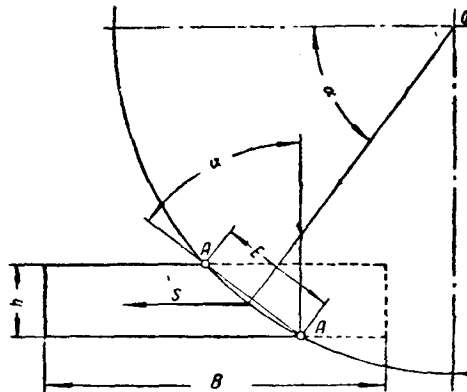


圖 3 用光的摩擦盤切割矩形工件。

为了得到动力的平均值，故取切断工件所需的时间为

$$\tau = \frac{B}{s}, \quad (11)$$

式中 B ——被切材料的宽度(公厘);

s ——走刀量的綫速度(公厘/秒)。

所以 $N_1 = \frac{427 U_1}{\tau 75} 0.735$ 仟瓦。

代入 U_1 和 τ 的数值，由公式(10)及(11)可得

$$N_1 = 4.2 \frac{Gs}{B} [c(t - t_0) + a] \text{ 仟瓦。} \quad (12)$$

切口处的金属重量等于

$$G = 10^{-6} b B r E \cos \alpha, \quad (13)$$

式中 b ——切口宽度(公厘);

r ——被切材料的比重(公斤/公寸³);

E ——联接盤与工件接触弧的弦(AA)長(公厘);

α ——盤与工件的接触角。

将重量数值代入公式(12)中可得

$$N_1 = 4.2 \times 10^{-6} s b E r [c(t - t_0) + a] \cos \alpha \text{仟瓦。} \quad (14)$$

由于材料的導热性能，使切出的兩半个工件吸收的热能 U_2 (仟卡/小时)，可由一定長度杆的導热公式●中求出。

$$U_2 = 2t_m th(mL)\sqrt{\alpha_t \lambda_M WF}, \quad (15)$$

式中 t_m ——当杆是处在温度等于零的环境中，杆的一端所保持的温度。

m ——按下式决定的系数(單位为公尺⁻¹)，

$$m = \sqrt{\frac{\alpha_t W}{\lambda_M F}}; \quad (16)$$

L ——杆的長度(公尺);

α_t ——傳热系数(仟卡/公尺² 小时°C);

λ_M ——杆的材料的導热率(仟卡/公尺²小时°C);

W ——杆的横断面中的周長(公尺);

F ——杆的横断面面積(公尺²)。

因为公式(15)中

$$th(mL) = \frac{sh(mL)}{ch(mL)}, \quad (17)$$

● 基尔皮且夫(М. В. Карпичев)等著“热的傳送”，M. L. Госиздат, 1940年版。

而 $ch(mL) = \frac{e^{mL} + e^{-mL}}{2}$, (18)

則對不長的杆來說 ($L \approx 0$) 可得

$$ch(mL) = \frac{e^0 + e^0}{2} = 1.$$

所以, $th(mL) = sh(mL) \approx mL$. (19)

同理, 杆很長時, 可取

$$ch(mL) \approx \infty. \quad (20)$$

所以, $th(mL) \approx 1$. (21)

將自公式(19)及(21)中所得的雙曲綫正切函數值代入公式(15)中, 即可得出下面的熱能 U_2 的簡化公式:

如果杆不太長, 則

$$U_2 = 2t_{\text{u}} \alpha_t WL, \quad (22)$$

如果杆很長, 則

$$U_2 = 2t_{\text{u}} \sqrt{\alpha_t \lambda_v WF}. \quad (23)$$

按公式(15)、(22)或(23)計算能量 U_2 時, 可使溫度 t_{u} 等於被切材料的熔解溫度 t 。此時, 由於切斷工件的時間與保持熱均衡的時間相差甚少, 所以切口壁上各點的溫度 t_{u} 可以當作完全相同。

按上述公式計算熱損失時, 遇到的最大困難是選擇傳熱系數 α_t , 其一般的數值是幾個變數的相當複雜的函數。

實際計算時應用努謝魯特公式可以得到很好的結果, 即

$$\alpha_t = 2.8 \sqrt{\Delta t}, \quad (24)$$

式中 $\Delta t = t - t_1$ ——溫度差;

t_1 ——杆周圍的介質的溫度; 其平均值可取 $t_1 = 0$ 。

由於材料的導熱性能使工件的兩半塊發熱所費的動力為

$$N_2 = \frac{427 U_2}{3600 \times 75} - 0.735 \text{ 千瓦}, \quad (25)$$

将公式(15)中的 U_2 值代入后，则为

$$N_2 = 0.0023 t_M \alpha_t (mL) \sqrt{\alpha_t \lambda_M W F} \text{ 千瓦。} \quad (26)$$

按公式(22)及(23)作簡單計算时，则为：

如果杆不太長，則

$$N_2 = 0.0023 t_M \alpha_t W L \text{ 千瓦，} \quad (27)$$

如果杆很長，則

$$N_2 = 0.0023 t_M \sqrt{\alpha_t \lambda_M W F} \text{ 千瓦。} \quad (28)$$

上述公式主要是用來進行准确的計算动力 N_2 。实际上应用近似的公式

$$N_2 = 0.14 N_1, \quad (29)$$

可以得出与試驗数据很相近的好結果。因此此式可用來概算动力。

动力 N_3 可以很容易的由公式(1)得出。

因为使盤与工件發热所費的动力比，等于盤与被切材料所吸收的热量比，所以可寫出

$$\frac{Q_\partial}{Q_M} = \frac{\lambda_\partial}{\lambda_M} = \frac{N_\partial}{N_M}. \quad (30)$$

由此 $N_\partial = \frac{\lambda_\partial}{\lambda_M} N_M \quad (31)$

但是 $N_\partial = N_3$ ，而 $N_M = N_1 + N_2$ ，

所以 $N_3 = \frac{\lambda_\partial}{\lambda_M} (N_1 + N_2). \quad (32)$

将公式(29)中的动力数值 N_2 代入此式后，则

$$N_3 = 1.14 \frac{\lambda_\partial}{\lambda_M} N_1. \quad (33)$$